

Динамическое децентрализованное управление распределенными вычислениями для блочно-рекурсивных алгоритмов в компьютерной алгебре.

Ильченко Евгений

Примеры блочно-рекурсивных алгоритмов компьютерной алгебры

1) Блочное матричное умножение:

$$\begin{pmatrix} A_0 & A_1 \\ A_2 & A_3 \end{pmatrix} \times \begin{pmatrix} B_0 & B_1 \\ B_2 & B_3 \end{pmatrix} = \begin{pmatrix} C_0 & C_1 \\ C_2 & C_3 \end{pmatrix}$$

$$C_0 = A_0 \times B_0 + A_1 \times B_2$$

$$C_1 = A_0 \times B_1 + A_1 \times B_3$$

$$C_2 = A_2 \times B_0 + A_3 \times B_2$$

$$C_3 = A_2 \times B_1 + A_3 \times B_3$$

2) Умножение матриц по алгоритму Штрассена:

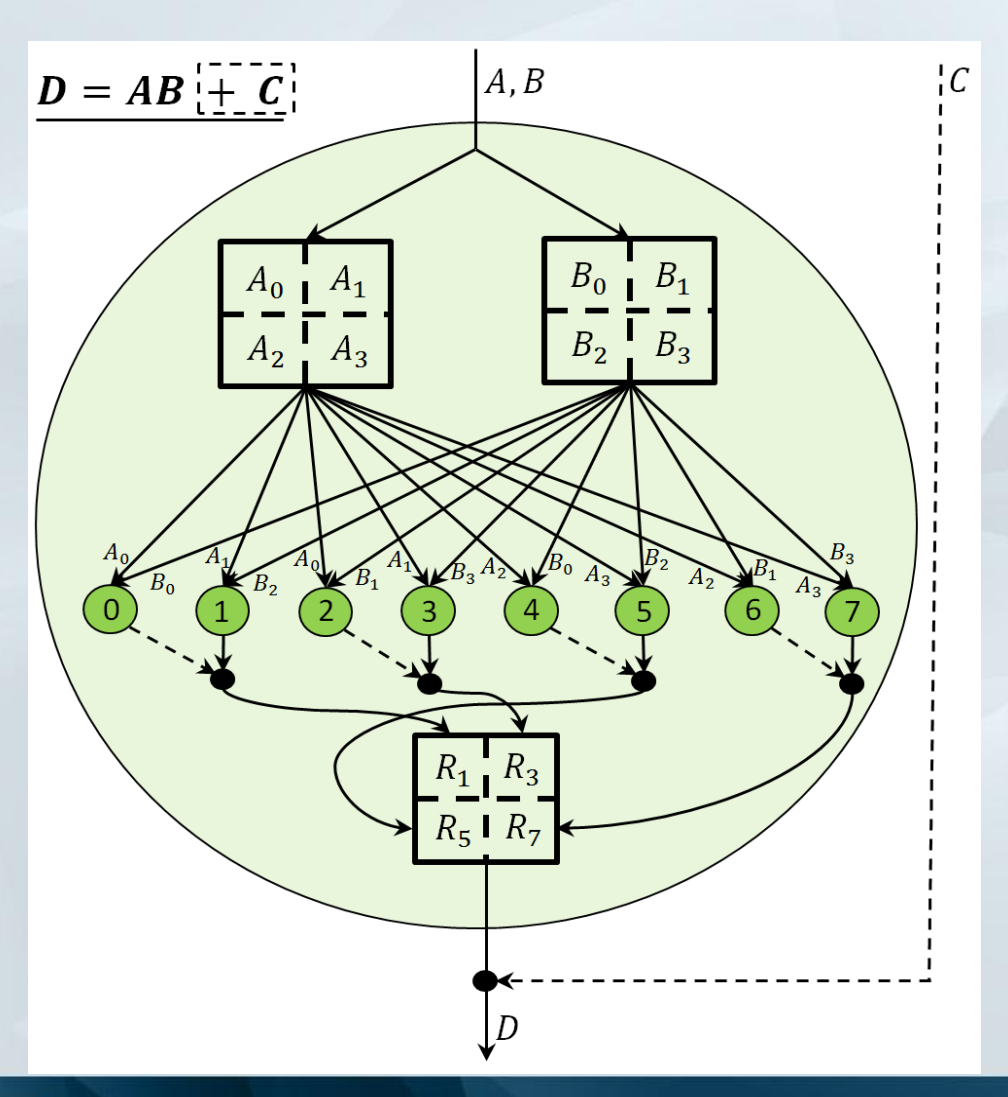
$$egin{aligned} \mathbf{P}_1 &:= (\mathbf{A}_{1,1} + \mathbf{A}_{2,2})(\mathbf{B}_{1,1} + \mathbf{B}_{2,2}) \ \mathbf{P}_2 &:= (\mathbf{A}_{2,1} + \mathbf{A}_{2,2})\mathbf{B}_{1,1} \ \mathbf{P}_3 &:= \mathbf{A}_{1,1}(\mathbf{B}_{1,2} - \mathbf{B}_{2,2}) \ \mathbf{P}_4 &:= \mathbf{A}_{2,2}(\mathbf{B}_{2,1} - \mathbf{B}_{1,1}) \ \mathbf{P}_5 &:= (\mathbf{A}_{1,1} + \mathbf{A}_{1,2})\mathbf{B}_{2,2} \ \mathbf{P}_6 &:= (\mathbf{A}_{2,1} - \mathbf{A}_{1,1})(\mathbf{B}_{1,1} + \mathbf{B}_{1,2}) \ \mathbf{P}_7 &:= (\mathbf{A}_{1,2} - \mathbf{A}_{2,2})(\mathbf{B}_{2,1} + \mathbf{B}_{2,2}) \end{aligned}$$

3) Обращение матриц по алгоритму Шура-Штрассена:

$$A = \begin{pmatrix} A_0 & A_1 \\ A_2 & A_3 \end{pmatrix} \quad A^{-1} = \begin{pmatrix} \mathbf{I} & -A_0^{-1}A_1 \\ 0 & \mathbf{I} \end{pmatrix} \times \begin{pmatrix} \mathbf{I} & 0 \\ 0 & (A_3 - A_2A_0^{-1}A_1)^{-1} \end{pmatrix} \times \begin{pmatrix} \mathbf{I} & 0 \\ -A_2 & \mathbf{I} \end{pmatrix} \times \begin{pmatrix} A_0^{-1} & 0 \\ 0 & \mathbf{I} \end{pmatrix}$$

- 4) Дихотомическое умножение полиномов.
- 5) Умножение полиномов алгоритмом Карацубы.

Блочный рекурсивный алгоритм умножения двух матриц



- (0,2,4,6) <u>А · В</u> исходные данные
- (1,3,5,7) $A \cdot B + C$ исходные постданные данные
- Информационные зависимости данных
- ----> Информационные зависимости постданных

Параллельная реализация блочного рекурсивного алгоритма

Два основных подхода к реализации блочно-рекурсивных алгоритмов:

- статическая реализация;
- динамическая реализация.

Статическая реализация предполагает явное отображение всех подзадач, возникающих при рекурсивном разбиении, на вычислительные модули (узлы вычислительного кластера, МРІ-процессы, ядра многоядерного процессора) до начала работы программы. В процессе вычисления никаких изменений не происходит.

Динамическая реализация подразумевает отображение подзадач на вычислительные модули в процессе работы параллельной программы. Задается только вычислительный модуль (root_node), на котором происходит инициализация исходных данных. Всё дальнейшее распределение нагрузки будет осуществляться только во время работы программы.

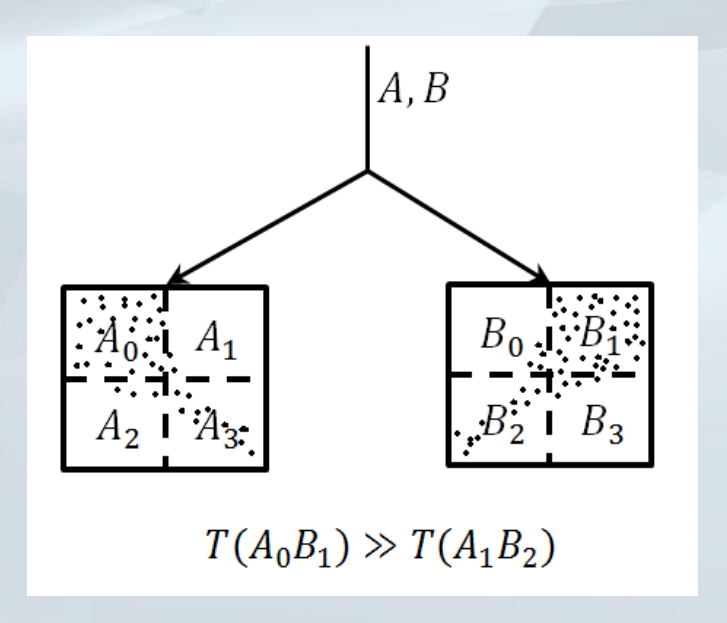
Плюсы и минусы *статической* параллельной реализации блочных рекурсивных алгоритмов

Положительные стороны статического подхода:

- отсутствие дополнительных расходов на перестройку вычислительного процесса;
- простота реализации.

Главный минус статического подхода к распараллеливанию алгоритмов:

• требование к однородности входных данных.



Плюсы и минусы динамической параллельной реализации блочных рекурсивных алгоритмов

Положительные стороны динамического распараллеливания:

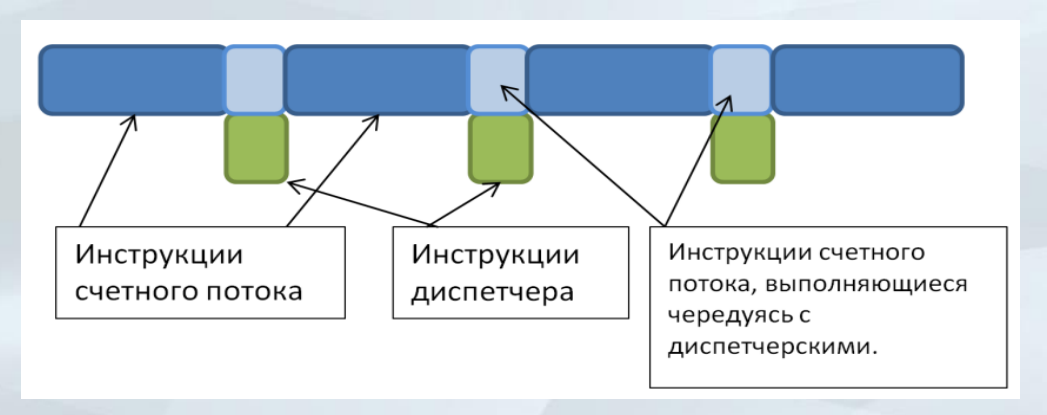
- отсутствие проблемы перепрограммирования при изменении числа вычислительных модулей или размера входных данных для алгоритма;
- правильная динамическая реализация обеспечивает загрузку всех вычислительных модулей и не допускает их простоя при работе программы, даже в случае неоднородных данных.

Минус динамического распараллеливания:

• требуются дополнительные расходы на функционирование диспетчерского потока выполнения инструкций программы.

Динамическая реализация параллельного алгоритма с несколькими диспетчерами

Реализация параллельного алгоритма с одним диспетчером и одним счетных потоком на каждом МРІ-процессе:

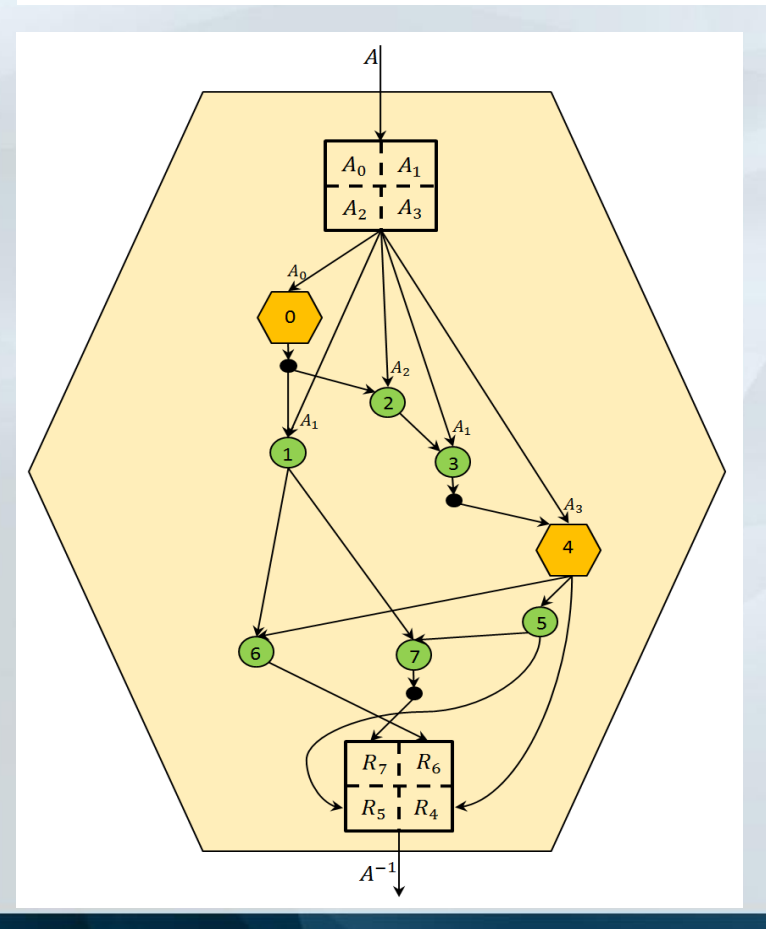


Реализация параллельного алгоритма с одним диспетчером для каждого MPI-процессе и количеством счетных потоков равным *m-1*, где *m* – количество ядер, имеющихся на вычислительном узле супер-ЭВМ:

D	Р	Р	Р	Р	Р	Р	Р
Р	Р	Р	Р	Р	Р	Р	Р
Р	Р	Р	Р	Р	Р	Р	Р
Р	Р	Р	Р	Р	Р	Р	Р
Р	Р	Р	Р	Р	Р	Р	Р
Р	Р	Р	Р	Р	Р	Р	Р
Р	Р	Р	Р	Р	Р	Р	Р
Р	Р	Р	Р	Р	Р	Р	Р

Граф алгоритма нахождения обратной матрицы по методу Шура-Штрассена

$$A^{-1} = \begin{pmatrix} A_0^{-1} + A_0^{-1} A_1 (A_3 - A_2 A_0^{-1} A_1)^{-1} A_2 A_0^{-1} & -A_0^{-1} A_1 (A_3 - A_2 A_0^{-1} A_1)^{-1} \\ -(A_3 - A_2 A_0^{-1} A_1)^{-1} A_2 A_0^{-1} & (A_3 - A_2 A_0^{-1} A_1)^{-1} \end{pmatrix}$$





- матричное умножение

Используемая терминология

Блочно-рекурсивные алгебраические алгоритмы будем представлять в виде направленных ациклических графов, вершинам которых будут сопоставляться некоторые вычисления (формулы), а дуги будут обозначать информационные зависимости.

Вершины имеют два типа:

- **«тяжелые»** вершины, которые *могут* быть посчитаны параллельно (разными MPI-процессами);
- «легкие» вершины, которые всегда будут считаться в последовательном однопоточном режиме на том MPI-процессе, где был инициализирован граф, к которому принадлежит рассматриваемая вершина.

Любая вершина имеет:

- исходные данные входные данные для алгоритма, представляющего данную вершину;
- результат выходные данные алгоритма, представляющего данную вершину.

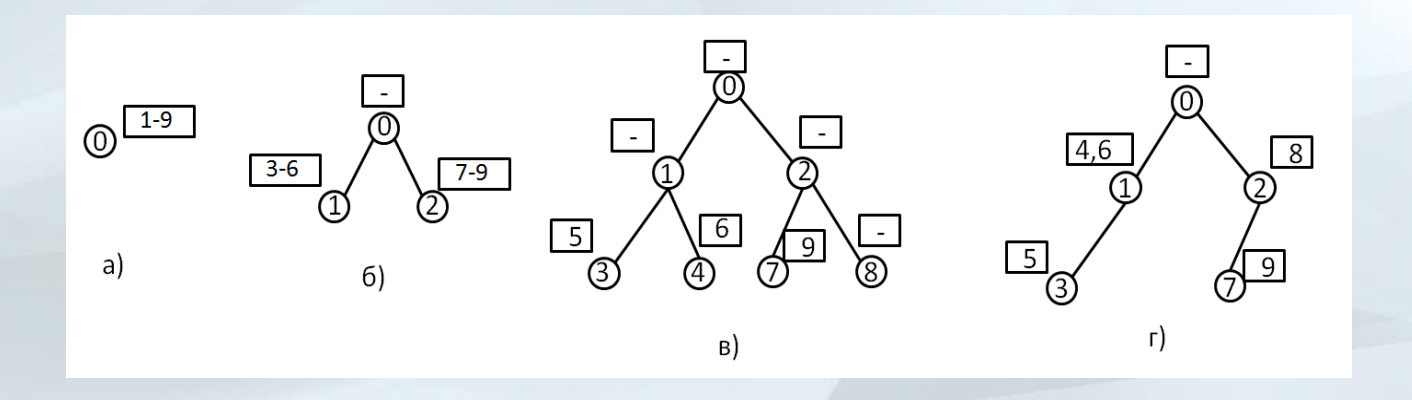
Тяжелые вершины в общем случае имеют четыре процедуры обработки:

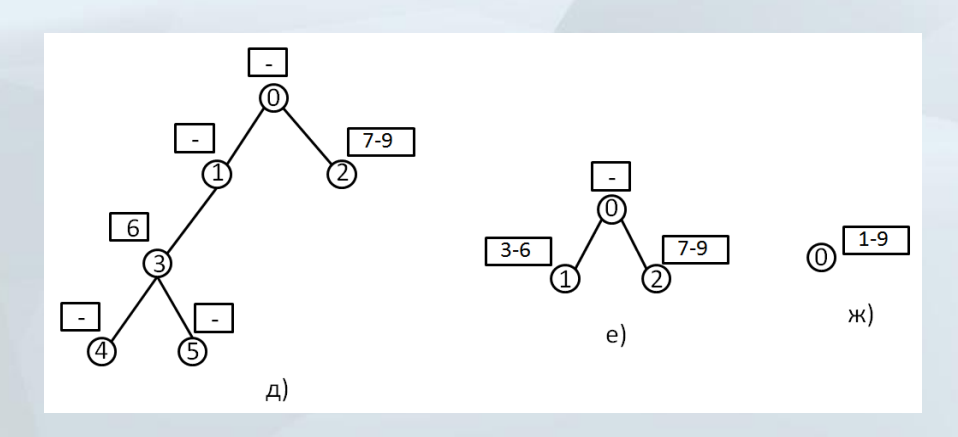
- инициализация подготовка исходных данных вершины;
- счет параллельное выполнение алгоритма для этой вершины;
- *сборка графа* процедура получения выходных данных рассматриваемого графа из результатов вершин этого графа;
- **постобработка результата** некоторое преобразование выходных данных, выполняемое последовательно в однопоточном режиме на том MPI-процессе, где велся счет рассматриваемого графа.

Легкие вершины всегда имеют две процедуры обработки:

- инициализация подготовка исходных данных вершины;
- счет последовательный однопоточный счет вершины.

Пример организации параллельных вычислений при использовании DDP-схемы





Описание работы счетных потоков DDP (dynamic decentralized parallelization)

Задания, которые выполняют счетные потоки:

- 1) выполнить сериализацию данных задачи;
- 2) выполнить сериализацию данных для постобработки некоторой тяжелой вершины;
- 3) выполнить сериализацию результата задачи;
- 4) выполнить десериализацию данных задачи;
- 5) выполнить десериализацию данных для постобработки некоторой тяжелой вершины;
- 6) выполнить десериализацию результата задачи;
- 7) выполнить инициализацию некоторой тяжелой вершины графа задачи;
- 8) выполнить счет некоторой тяжелой вершины графа задачи;
- 9) выполнить счет некоторой легкой вершины графа задачи;
- 10) выполнить постобработку некоторой тяжелой вершины графа задачи;
- 11) выполнить завершающую сборку некоторого графа задачи;
- 12) выполнить счет кустовой задачи (в многопоточном режиме).

Блочный алгоритм нахождения расширенной присоединенной матрицы [3]

$$A_{ext}(M, d_0) = (\mathbf{A}, \mathbf{S}, \mathbf{E}, \mathbf{d}), \quad M \in \mathbb{R}^{n \times n}, \ n = 2^k.$$

Если
$$M=0:A_{ext}(0,d_0)=(d_0\boldsymbol{I},0,0,d_0)$$
, где \boldsymbol{I} - единичная матрица.

Если
$$k = 0$$
 и $M = a \neq 0$: $A_{ext}(a, d_0) = (d_0, a, 1, a)$.

Если k>0 и $M\neq 0$ разобьем матрицы M,A,S,E на четыре равных блока:

$$M = \begin{pmatrix} M_{11} & M_{12} \\ M_{21} & M_{22} \end{pmatrix}, A = \begin{pmatrix} A_{11} & A_{12} \\ A_{21} & A_{22} \end{pmatrix}, S = \begin{pmatrix} S_{11} & S_{12} \\ S_{21} & S_{22} \end{pmatrix}, E = \begin{pmatrix} E_{11} & E_{12} \\ E_{21} & E_{22} \end{pmatrix}.$$

Введем обозначения: $I_{ij} = E_{ij}E_{ij}^T, \bar{I}_{ij} = \mathbf{I} - I_{ij}, Y_{ij} = E_{ij}^TS_{ij} - d_{ij}\mathbf{I}, i, j \in 1, 2.$

$$\mathbf{A_{ext}}(\mathbf{M_{11}}, \mathbf{d_0}) = (\mathbf{A_{11}}, \mathbf{S_{11}}, \mathbf{E_{11}}, \mathbf{d_{11}}),$$

$$M_{12}^1 = \frac{A_{11}M_{12}}{d_0}, M_{21}^1 = -\frac{M_{21}Y_{11}}{d_0}, M_{22}^1 = \frac{M_{22}d_{11} - M_{21}E_{11}^TM_{12}^1}{d_0},$$

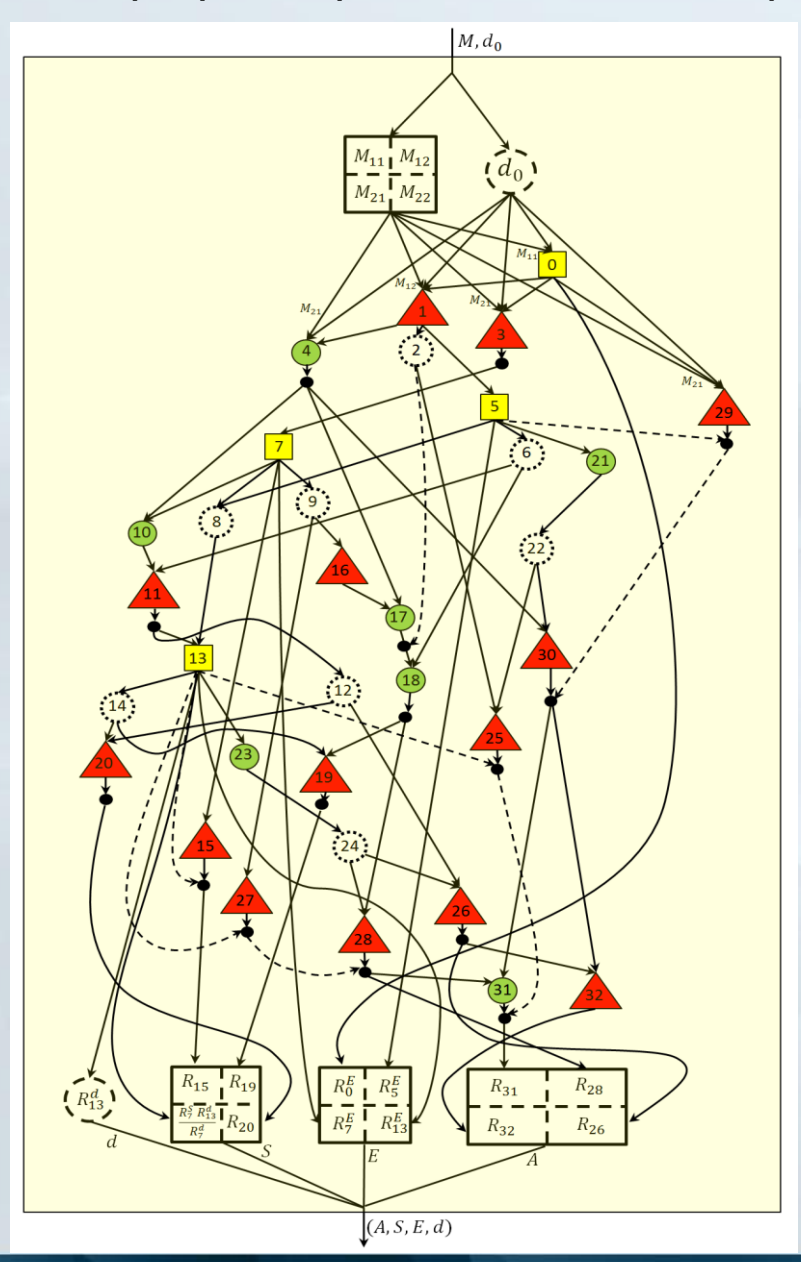
$$\mathbf{A_{ext}}(\overline{\mathbf{I}_{11}}\mathbf{M_{12}^1},\mathbf{d_{11}}) = (\mathbf{A_{12}},\mathbf{S_{12}},\mathbf{E_{12}},\mathbf{d_{12}}), \quad \mathbf{A_{ext}}(\mathbf{M_{21}^1},\mathbf{d_{11}}) = (\mathbf{A_{21}},\mathbf{S_{21}},\mathbf{E_{21}},\mathbf{d_{21}}), \quad \mathbf{A_{ext}}(\mathbf{M_{21}^1},\mathbf{d_{21}}) = (\mathbf{A_{21}},\mathbf{S_{21}},\mathbf{E_{21}},\mathbf{d_{21}}), \quad \mathbf{A_{21}}(\mathbf{M_{21}^1},\mathbf{d_{21}}) = (\mathbf{A_{21}},\mathbf{S_{21}},\mathbf{B_{21}},\mathbf{B_{21}},\mathbf{B_{21}},\mathbf{B_{21}},\mathbf{B_{21}},\mathbf{B_{21}},\mathbf{B_{21}},\mathbf{B_{21}},\mathbf{B_{21}},\mathbf{B_{21}},\mathbf{B_{21}},\mathbf{B_{21}},\mathbf{B_{21}},\mathbf{B_{21}},\mathbf{B_{21}},\mathbf{B_{21}},\mathbf{B_{21}},\mathbf{B_{21}},\mathbf{B_{21}},\mathbf{B_{21}},\mathbf{B_{21}},\mathbf{B_{21}},\mathbf{B_{21}},\mathbf{B_{21}},\mathbf{B_{21}},\mathbf{B_{21}},\mathbf{B_{21}},\mathbf{B_{21}},\mathbf{B_{21}},\mathbf{B_{21}},\mathbf{B_{21}},\mathbf{B_{21}},\mathbf{B_{21}},\mathbf{B_{21}},\mathbf{B_{21}},\mathbf{B_{21}},\mathbf{B_{21}},\mathbf{B_{21}},\mathbf{B_{21}},\mathbf{B_{21}},\mathbf{B_{21}},\mathbf{B_{21}},\mathbf{B_{21}},\mathbf{B_{21}},\mathbf{B_{21}},\mathbf{B_{21}},\mathbf{B_{21}},\mathbf{B_{21}},\mathbf{B_{21}},\mathbf{B_{21}},\mathbf{B_{21}},\mathbf{B_{21}},\mathbf{B_{21}},\mathbf{B_{21}},\mathbf{B_{21}},\mathbf{B_{21}},\mathbf{B_{21}},\mathbf{B_{21}},\mathbf{B_{21}},\mathbf{B_{21}},\mathbf{B_{21}},\mathbf{B_{21}},\mathbf{B_{21}},\mathbf{B_{21}},\mathbf{B_{21}},\mathbf{B_{21}},\mathbf{B_{21}},\mathbf{B_{21}},\mathbf{B_{21}},\mathbf{B_{21}},\mathbf{B_{21}},\mathbf{B_{21}},\mathbf{B_{21}},\mathbf{B_{21}},\mathbf{B_{21}},\mathbf{B_{21}},\mathbf{B_{21}},\mathbf{B_{21}},\mathbf{B_{21}},\mathbf{B_{21}},\mathbf{B_{21}},\mathbf{B_{21}},\mathbf{B_{21}},\mathbf{B_{21}},\mathbf{B_{21}},\mathbf{B_{21}},\mathbf{B_{21}},\mathbf{B_{21}},\mathbf{B_{21}},\mathbf{B_{21}},\mathbf{B_{21}},\mathbf{B_{21}},\mathbf{B_{21}},\mathbf{B_{21}},\mathbf{B_{21}},\mathbf{B_{21}},\mathbf{B_{21}},\mathbf{B_{21}},\mathbf{B_{21}},\mathbf{B_{21}},\mathbf{B_{21}},\mathbf{B$$

$$M_{22}^2 = -\frac{A_{21}M_{22}^1Y_{12}}{(d_{11})^2}, \ d_s = \frac{d_{21}d_{12}}{d_{11}},$$

$${f A_{ext}}({f ar{I}_{21}M_{22}^2,d_s}) = ({f A_{22},S_{22},E_{22},d_{22}}),$$

$$M_{11}^{2} = -\frac{S_{11}Y_{21}}{d_{11}}, \ M_{12}^{2} = \frac{\left(\frac{S_{11}E_{21}^{T}A_{21}}{d_{11}}M_{12}^{1}d_{21}}{d_{11}}\right)Y_{12} + S_{12}d_{21}}{d_{11}}, \ M_{12}^{3} = -\frac{M_{12}^{2}Y_{22}}{d_{s}}, \ M_{12}^{3} = -\frac{M_{12}^{2}Y_{22}}{d_{s}}, \ M_{22}^{3} = S_{22} - \frac{I_{21}M_{22}^{2}Y_{22}}{d_{s}}, \ A^{1} = A_{12}A_{11}, \ A^{2} = A_{22}A_{21}, \ L = \left(\frac{A^{1} - \frac{I_{11}M_{12}^{1}E_{12}^{T}A^{1}}{d_{11}}}{d_{11}}\right)d_{22}, \ P = \frac{A^{2} - \frac{I_{21}M_{22}^{2}E_{22}^{T}A^{2}}{d_{s}}}{d_{21}}, F = -\frac{\left(\frac{S_{11}E_{21}^{T}A_{21}}{d_{11}}\right)d_{22} + \frac{M_{12}^{2}E_{22}^{T}A^{2}}{d_{s}}}{d_{21}}}{d_{21}}, G = -\frac{\left(\frac{M_{21}E_{11}^{T}A_{11}}{d_{0}}\right)d_{12} + \frac{M_{22}^{1}E_{12}^{T}A^{1}}{d_{11}}}{d_{11}}}{d_{11}}, A = \left(\frac{E_{11}E_{12}}{d_{12}} + \frac{F}{d_{12}}}{F}\right), \mathbf{S} = \left(\frac{M_{11}^{2}d_{22}}{d_{21}} + M_{12}^{3}}{d_{22}}\right), \mathbf{E} = \left(\frac{E_{11}E_{12}}{E_{21}} + E_{12}}{E_{22}}\right), \mathbf{d} = d_{22}.$$

Граф алгоритма нахождения расширенной присоединенной матрицы

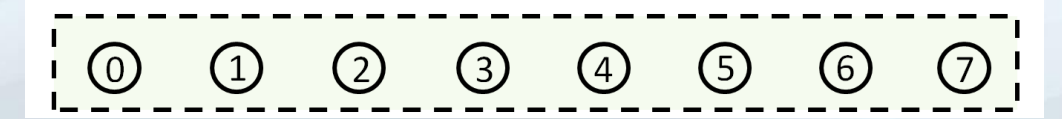


- $A \cdot B$
- $\frac{A \cdot B}{d}$
- «Легкие» вершины
- Информационные зависимости данных
- информационные зависимости постданных

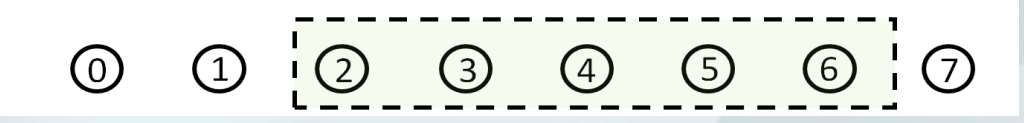
Режимы запуска DDP

Если параллельная программа запущена на N узлах с m вычислительных ядер на каждом, то возможны следующие режимы работы DDP:

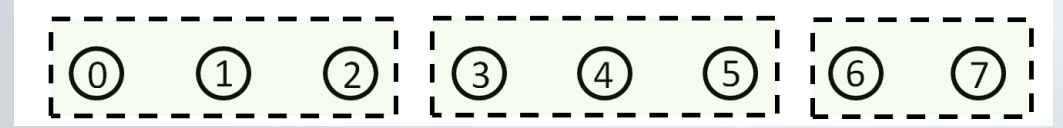
• запуск на всех N узлах:



• запуск на некотором подмножестве имеющихся узлов:



• q одновременных запусков нескольких экземпляров DDP, если N было разбито на q непересекающихся подмножеств:



• любая последовательная комбинация описанных выше случаев.

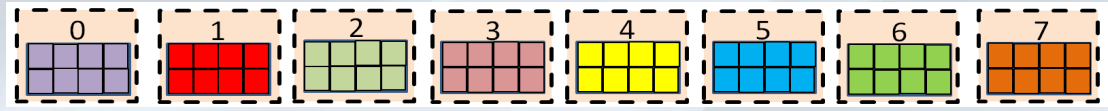
Объединение статического управления и DDP

Параллельные модулярные алгоритмы предполагают независимое вычисление результатов по нескольких модулям (необходимое количество которых может быть неизвестно заранее). Запускается цикл статического управления, который в зависимости от оставшегося количества необработанных модулей выполняет запуск одного из следующих режимов:

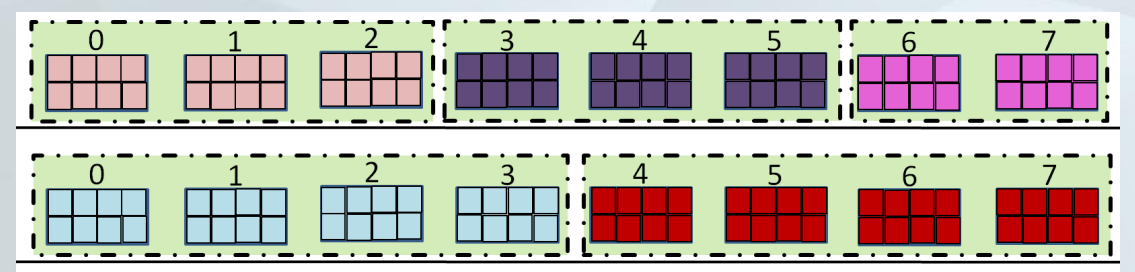
• запуск последовательной версии алгоритма на каждом доступном ядре (будет произведен одновременный счет по $N\cdot m$ модулям):



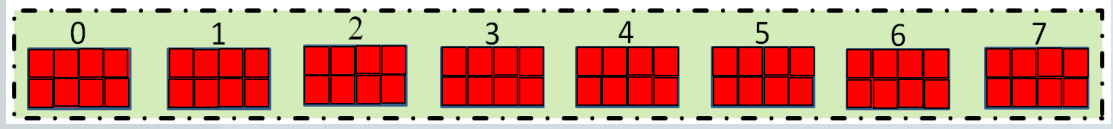
• запуск многопоточной версии алгоритма на каждом вычислительном узле (будет произведен счет по *N* модулям, в случае отсутствия многопоточной версии алгоритма возможен запуск DDP для каждого узла):



• разбиение множества N на q непересекающихся подмножеств, отличающихся мощностью не более чем на единицу и запуск DDP на каждом из этих подмножеств:



• запуск единственного экземпляра DDP на всех доступных узлах:

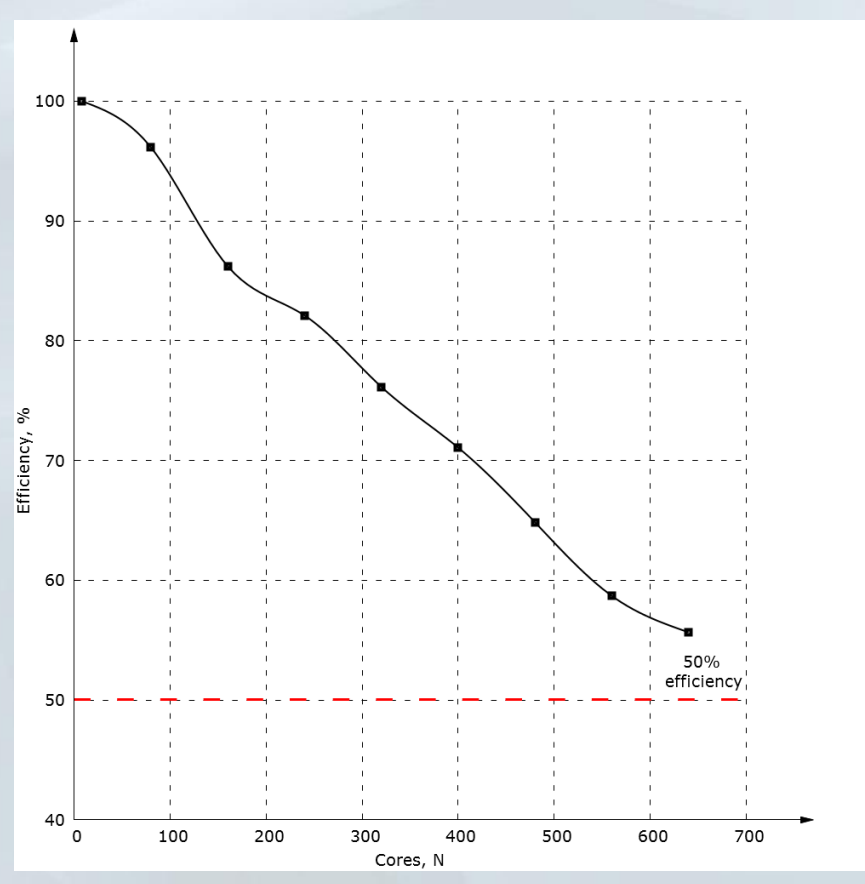


Основные характеристики программной платформы DDP

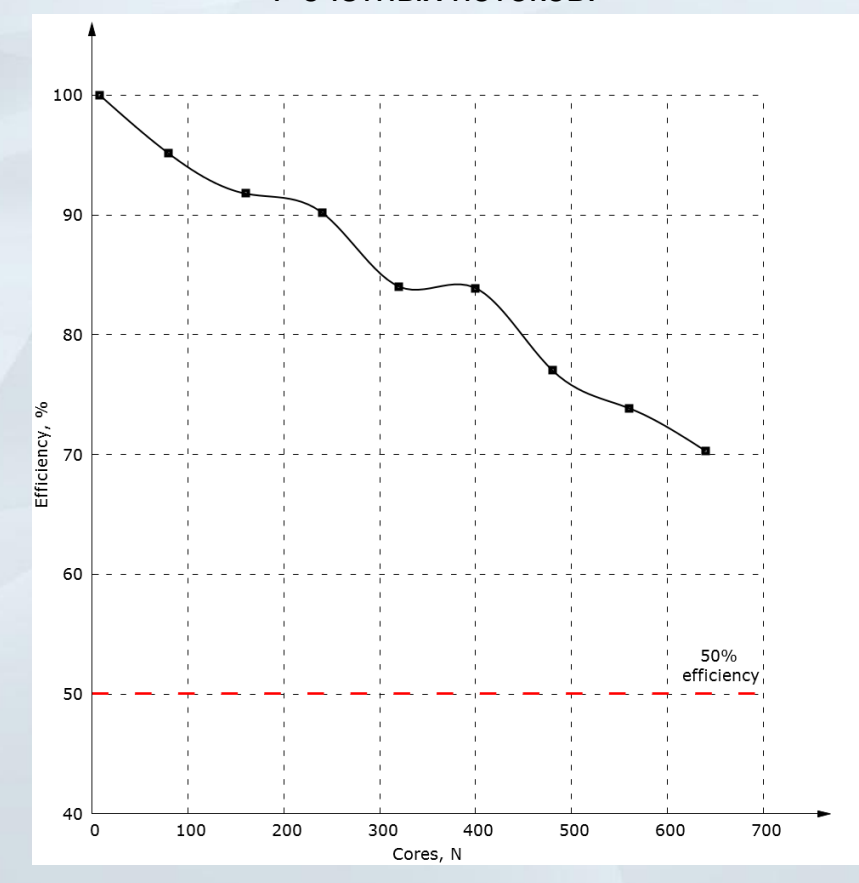
- 1. DDP является фреймворком, позволяющим реализовывать блочнорекурсивные алгоритмы, выполняя явное отображение графа алгоритма и используемых при его счете формул на заранее определенные абстрактные классы.
- 2. Реализация выполнена на языке программирования С++, объем исходного кода составил более 10000 строк.
- 3. DDP позволяет тесную интеграцию с системами компьютерной алгебры в целях получения возможности производить счет крупных задач на супер-ЭВМ.
- C++
- GMP
- Pthreads
- Java (MathPartner)

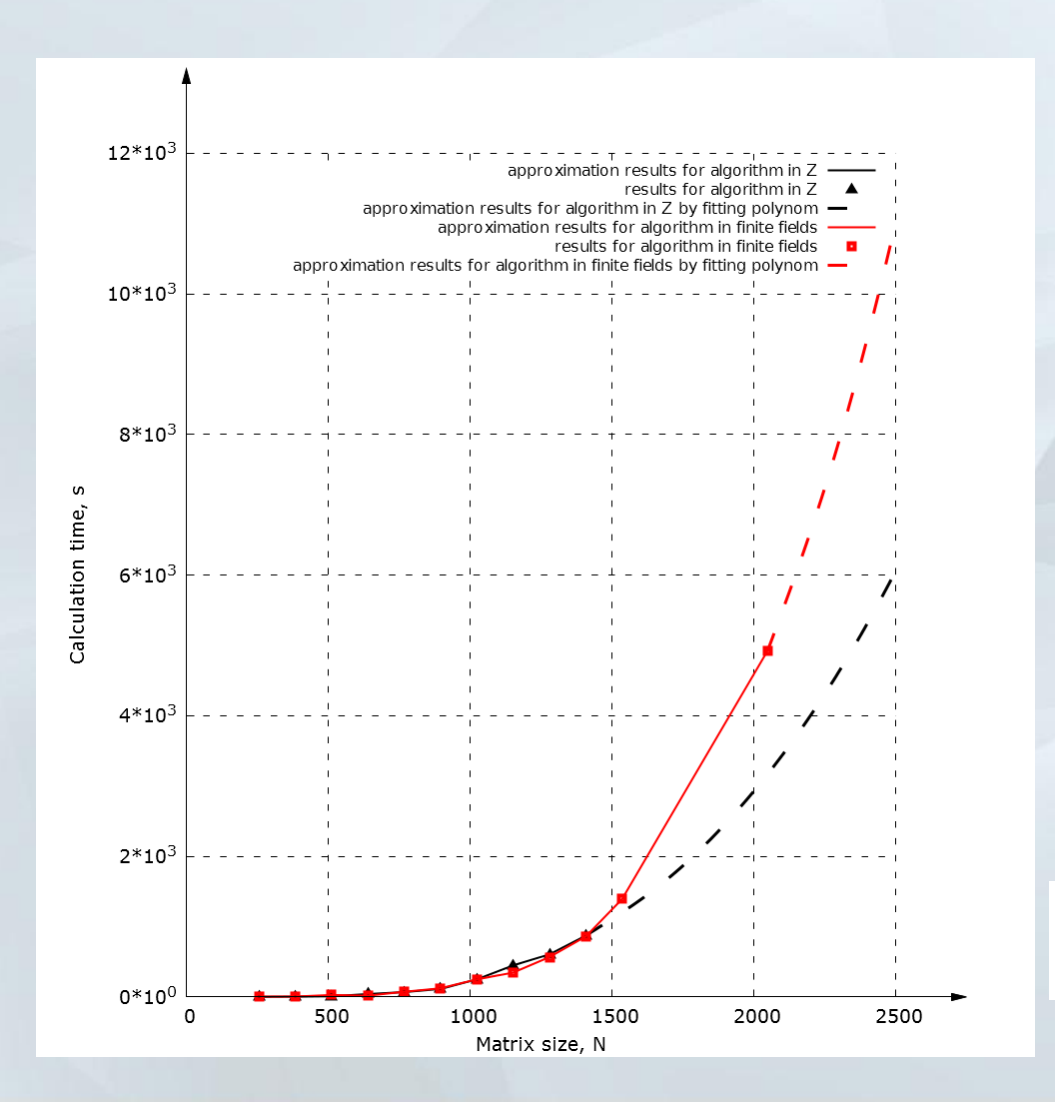
Графики эффективности параллельной программы, выполняющей умножение двух плотных матриц с 15-битными коэффициентами:

размерность матриц 8192, 7 счетных потоков:



размерность матриц 14336, 7 счетных потоков:





Сравнение прямого модулярного параллельных алгоритмов вычисления расширенной присоединенной матрицы. Количество **УЗЛОВ** ДЛЯ всех точек равнялось 20, использовалось по 8 ядер на узле. Входные матрицы имели плотность 1% и 15-битные коэффициенты.

Аппроксимация результатов приближающими полиномами, n – размерность входной матрицы:

$$FitZ^{a} = 4.52 * 10^{-7}n^{3} - 1.02 * 10^{-4}n^{2} - 0.16n + 46$$

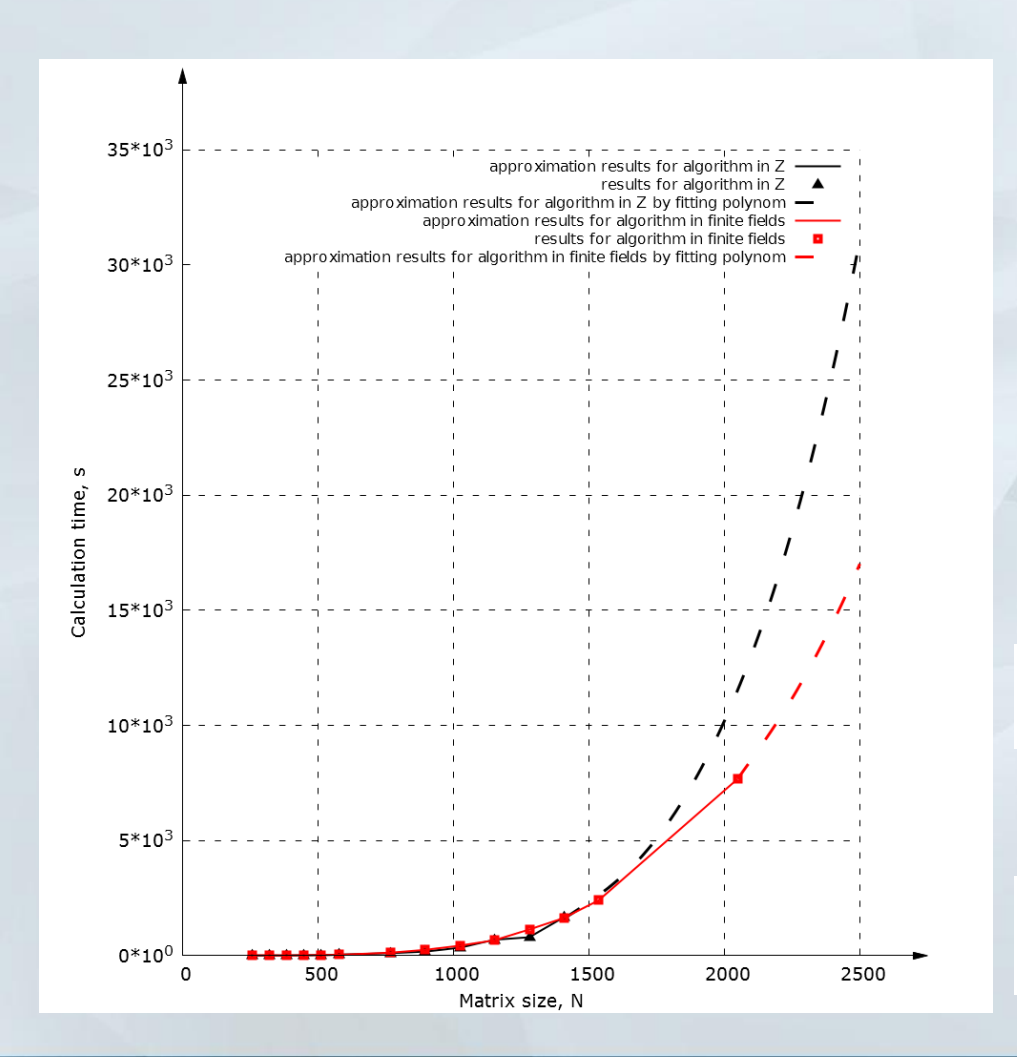
$$FitZp^a = 1.596 * 10^{-6}n^3 - 2.886 * 10^{-3}n^2 + 1.768n - 308$$

Если размер матриц дан в тысячах:

$$n = 1000 \cdot N$$
, TO

$$FitZ^a = 452N^3 - 102N^2 - 164N + 46$$

$$FitZp^a = 1596N^3 - 2886N^2 + 1768N - 308$$



Сравнение прямого и модулярного параллельных алгоритмов вычисления расширенной присоединенной матрицы. Количество узлов для всех точек равнялось 20, использовалось по 8 ядер на узле. Входные матрицы имели плотность 100% и 15-битные коэффициенты.

Аппроксимация результатов приближающими полиномами,

$$n$$
 — размерность входной матрицы:
$$FitZ^b = 1.837*10^{-9}n^4 - 3.514*10^{-6}n^3 + 2.487*10^{-3}n^2 - 0.519n$$

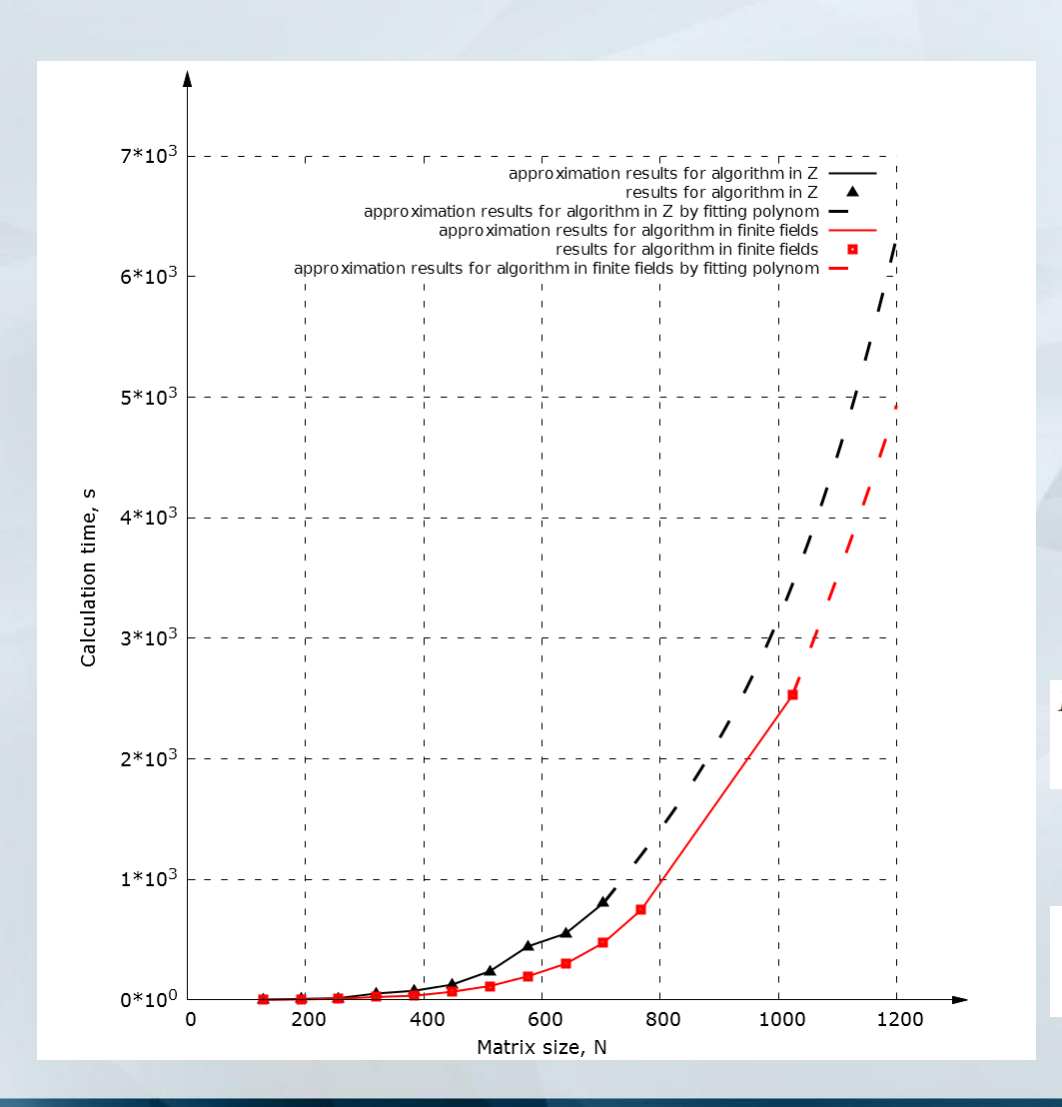
$$FitZp^b = 3.76 * 10^{-10}n^4 + 2.92 * 10^{-7}n^3 - 4.13 * 10^{-4}n^2 + 0.131n$$

Если размер матриц дан в тысячах:

$$n = 1000 \cdot N$$
, TO

$$FitZ^b = 1837N^4 - 3514N^3 + 2487N^2 - 519N$$

$$FitZp^b = 376N^4 + 292N^3 - 413N^2 + 131N$$



Сравнение прямого и модулярного параллельных алгоритмов вычисления расширенной присоединенной матрицы. Количество узлов для всех точек равнялось 20, использовалось по 8 ядер на узле. Входные матрицы имели плотность 100% и 100-битные коэффициенты.

Аппроксимация результатов приближающими полиномами, *n* – размерность входной матрицы:

$$FitZ^{c} = 2.439 * 10^{-9}n^{4} + 1.083 * 10^{-6}n^{3} - 4.36 * 10^{-4}n^{2} + 6.26 * 10^{-2}n$$

$$FitZp^c = 1.078*10^{-9}n^4 + 3.425*10^{-6}n^3 - 2.819*10^{-3}n^2 + 0.61n$$

Если размер матриц дан в тысячах:

$$n = 1000 \cdot N$$
, TO

$$FitZ^c = 2439N^4 + 1083N^3 - 436N^2 + 63N$$

$$FitZp^c = 1078N^4 + 3425N^3 - 2819N^2 + 606N$$

Результаты

- 1. Разработаны алгоритмы динамического децентрализованного управления распределенными вычислениями.
- 2. Разработана программная платформа DDP для создания эффективных масштабируемых параллельных программ, реализующих блочно-рекурсивные алгоритмы компьютерной алгебры.
- 3. Разработаны алгоритмы и параллельные программы, выполняющие блочно-рекурсивное матричное умножение, умножение матриц по алгоритму Штрассена, обращение матриц методом Шура-Штрассена, нахождение ядра оператора и обратной матрицы. Сделан сравнительный анализ параллельных программ, выполняющих вычисления блочно-рекурсивным методом с целочисленными операциями и методом гомоморфных образов с отображением в конечные поля и восстановлением в рациональных числах.
- 4. Осуществлена алгоритмическая и программная интеграция платформы DDP и системы компьютерной алгебры MathPartner.

Публикация результатов работы

Публикации в журналах, входящих в перечень ВАК:

- 1. Ильченко Е.А. Об одном алгоритме управления параллельными вычислениями с децентрализованным управлением // Вестник Тамбовского университета. Серия: Естественные и технические науки, 2013, том 18, вып 4, с. 1198-1206.
- 2. Ильченко Е.А. Сокетный сервер для удаленного взаимодействия пользователя с системой управления распределенными вычислениями // Вестник Тамбовского университета. Серия: Естественные и технические науки, 2014, том 19, вып 2, с. 551-557.
- 3. Ильченко Е.А. Об эффективном методе распараллеливания блочных рекурсивных алгоритмов // Вестник Тамбовского университета. Серия: Естественные и технические науки, 2015, том 20, вып 5, с. 1173-1186.
- 4. Ильченко Е.А. Инструменты математического сервиса «MathPartner» для выполнения параллельных вычислений на кластере // Труды ИСП РАН, 2016, том 1, вып. 3, с. 173-188.

Публикации в изданиях, не входящих в перечень ВАК:

- 1. Gennadi Malaschonok and Evgeni Ilchenko. *Decentralized control of parallel computing* // International conference Polynomial Computer Algebra. St. Petersburg, PDMI RAS, 2012. P. 57-58.
- 2. Ilchenko E.A. *One approach to algorithm of the decentralized management for the distributed computing process* // International conference MathParCA-2015, Turku-Abo, Finland, 2015. P. 8.
- 3. Evgeny A. Ilchenko. *About Effective Methods of Parallelizing Block Recursive Algorithms* // International Conference on Mathematical Partnership, Parallel Computing and Computer Algebra: MathParCA-2016, Loutra, Agia Paraskevi, Greece, August, 5 15, 2016. P.51-52.
- 4. Е. А. Ильченко. *О распараллеливании рекурсивных блочных алгебраических алгоритмов: алгоритмы и эксперименты //* Компьютерная алгебра. Материалы международной конференции. Москва, 29 июня 2 июля 2016, ВЦ РАН им. А.А.Дородницына. Москва: 2016. С. 60-62.
- 5. Е.А. Ильченко, М.А. Рыбаков, С.А. Хворов, Г.И. Малашонок. *Параллельное программирование на OpenMPI Java с приложением в Math Partner*. *Учеб. пособие*. ФГБОУ ВПО «Тамбовский государственный университет имени Г.Р. Державина». Тамбов: Изд. дом ТГУ им. Г.Р. Державина, 2016.

Литература

- 1. Малашонок Г.И. *Управление параллельным вычислительным процессом* // Вестник Тамбовского университета. Сер. Естественные и технические науки. Тамбов, 2009. Том 14. Вып. 1. С. 269-274.
- 2. Малашонок Г.И. *Матричные методы вычислений в коммутативных кольцах*. Тамбов: Изд-во Тамбовского университета, 2002.
- 3. Малашонок Г.И. *О вычислении ядра оператора действующего в модуле* // Вестник Тамбовского университета. Сер. Естественные и технические науки. Тамбов, 2008. Том 13, вып. 1. С. 129-131
- 4. Malaschonok G.I. *Effective Matrix Methods in Commutative Domains* // Formal Power Series and Algebraic Combinatorics. Berlin: Springer, 2000. P.506-517.
- 5. Strassen V. Gaussian Elimination is not optimal // Numerische Mathematik. 1969, 13, 354-356.
- 6. Jean-Guillaume Dumasa, Thierry Gautierb, Clement Pernet, Jean-Louis Rochb, Ziad Sultana. *Recursion based parallelization of exact dense linear algebra routines for Gaussian elimination* // Parallel Computing, Volume 57, September 2016, Pages 235-249.
- 7. A. R. Benson and G. Ballard. *A framework for practical parallel fast matrix multiplication* // In Proceedings of the 20th ACM SIGPLAN Symposium on Principles and Practice of Parallel Programming, PPoPP 2015, pages 42-53, New York, NY, USA, 2015. ACM.
- 8. P. D'alberto, M. Bodrato, and A. Nicolau. *Exploiting parallelism in matrix-computation kernels for symmetric multiprocessor systems: Matrix-multiplication and matrix-addition algorithm optimizations by software pipelining and threads allocation //* ACM Trans. Math. Softw., 38(1):2:1-2:30, Dec. 2011.
- 9. J.-G. Dumas, P. Giorgi, and C. Pernet. *Dense linear algebra over word-size prime fields: the fflas and ffpack packages* // ACM Trans. on Mathematical Software(TOMS), 35(3):1-42, 2008.
- 10. Бетин А.А. Эксперименты с параллельным алгоритмом вычисления присоединённой матрицы и параллельным умножением файловых матриц // Вестник Тамбовского университета. Сер. Естественные и технические науки. Тамбов, 2010, том 15, вып. 1, с. 341-345.
- 11. Бетин А.А. Эксперименты с параллельным алгоритмом вычисления присоединённой матрицы // Вестник Тамбовского университета. Сер. Естественные и технические науки. Тамбов, 2010. Том 15. Вып. 6. С. 1748-1754.

Литература

- 12. Малашонок Г.И., Валеев Ю.Д. Организация параллельных вычислений в рекурсивных символьно-численных алгоритмах // Труды конференции ПаВТ'2008 (Санкт-Петербург). Челябинск: Изд-во ЮУрГУ, 2008. С. 153-165.
- 13. Г.И. Малашонок, Ю.Д. Валеев. *Рекурсивное распараллеливание символьно-численных алгоритмов* Вестник Тамбовского университета. Сер. Естественные и технические науки. Тамбов, 2006. Том 11. Вып. 4. С. 536-549
- 14. Малашонок Г.И., Валеев Ю.Д. *Динамическое распределение заданий в вычислительном кластере по графу алгоритма* // XI Державинские чтения. Тезисы докладов. Тамбов: Изд-во ТГУ им. Г.Р. Державина, 2006. С. 38-47.
- 15. Г.И. Малашонок, Ю.Д. Валеев. О некоторых подходах к построению параллельных программ // Вестник тамбовского университета. Тамбов, 2005. Том~10. Вып. 1. С.154-156.

Спасибо за внимание!